

Raport pracy domowej #5

Metody Losowe Optymalizacji Globalnej

Piotr Podbielski

11 maja 2020

1 Cel pracy domowej

Celem pracy domowej jest:

1. zaimplementowanie algorytmów: *Evolution Strategy*, *Biological Evolution* (pol. *algorytm ewolucyjny*), *Particle Swarm Optimization* oraz *Differential Evolution*,
2. porównanie działania powyższych algorytmów z poprzednio zaimplementowanymi algorytmami, w szczególności z algorytmem *Hill Climbing* (należy zwrócić uwagę na sprawiedliwe porównywanie metod jednopunktowych z populacyjnymi),
3. napisanie raportu zawierającego: (1) wykresy zbieżności algorytmów, (2) wnioski.

2 Przebieg wykonywania zadania

2.1 Zebranie zbioru wartości hiperparametrów dla poprzednio zaimplementowanych algorytmów

Wyniki w ramach poprzednich prac domowych były uzyskiwane z wykorzystaniem hiperparametrów, które były wybierane metodą empiryczną (manualnie). W ramach ostatniej pracy domowej, która ma na celu implementację różnych algorytmów postanowiono dopisać moduł przeszukujący przestrzeń hiperparametrów w celu odnalezienia optymalnej konfiguracji algorytmów. Tablice 1, 2, 3, 4 ukazują wartości poszczególnych hiperparametrów dla *pewnych* algorytmów.

2.2 Zaimplementowanie algorytmu *Evolution Strategy*

Wszelkie algorytmy zaimplementowane w ramach tej pracy domowej zostały zaimplementowane na podstawie pseudokodów udostępnionych przez prowadzącego w [1]. Algorytm *Evolution Strategy* został zaimplementowany 1 : 1. Tablica 5 przedstawia wartości optymalnych hiperparametrów uzyskanych poprzez uruchomienie algorytmu z 500 różnymi konfiguracjami. Każda konfiguracja przeliczana była 500 razy, a następnie końcowy wynik był uśredniany co pozwalało na porównanie różnych zestawów hiperparametrów.

W przypadku obu funkcji jako optymalna wartość parametru *Step mutation coefficient* została wybrana liczba 0.990, co oznacza, że w tym wypadku opłaca się modyfikować obszar przeszukiwań (*step*, będący odchyleniem standardowym) o małe wartości.

Tablica 1: Optymalne wartości hiperparametrów dla algorytmu *Hill Climbing*.

Nazwa	Wartość dla funkcji	
	Rosenbrocka	Rastrigina
Failures to reset	49	14
Step	0.211	0.030
Reset resets failures counter	False	False

Tablica 2: Optymalne wartości hiperparametrów dla algorytmu *Hill Climbing with Adaptive Step Size*.

Nazwa	Wartość dla funkcji	
	Rosenbrocka	Rastrigina
Number of particles	13	11

Tablica 3: Optymalne wartości hiperparametrów dla algorytmu *Bit Switch Hill Climbing*.

Nazwa	Wartość dla funkcji	
	Rosenbrocka	Rastrigina
Failures to reset	13	1
Step	8	2
Reset resets failure counter	True	False
Number of bits for grid mapping per dimension	6	15

Tablica 4: Optymalne wartości hiperparametrów dla algorytmu Bit Switch Hill Climbing with Variable Neighborhood Search.

Nazwa	Wartość dla funkcji	
	Rosenbrocka	Rastrigina
Neighbor looks	350	800
Number of bits for grid mapping per dimension	16	29

Tablica 5: Optymalne wartości hiperparametrów dla algorytmu *Evolution Strategy*

Nazwa	Wartość dla funkcji	
	Rosenbrocka	Rastrigina
Improvements loop iterations	600	2000
Step	0.048	0.906
Step mutation coefficient	0.990	0.990

Tablica 6: Optymalne wartości hiperparametrów dla algorytmu *Biological Evolution*.

Nazwa	Wartość dla funkcji	
	Rosenbrocka	Rastrigina
Population	39	40
Crossover population	19	19
Mutation probability	1	0.004
Mutation step	0.471	1.670

Tablica 7: Optymalne wartości hiperparametrów dla algorytmu *Particle Swarm Optimization*.

Nazwa	Wartość dla funkcji	
	Rosenbrocka	Rastrigina
Number of particles	39	40
Omega	-0.084	-0.077
C1	1.071	0.903
C2	2.052	2.302

2.3 Zaimplementowanie algorytmu *Biological Evolution*

Algorytm *Biological Evolution* został zaimplementowany w następujący sposób:

- krzyżowanie — arytmetyczne uśredniające, dla każdego wymiaru osobno losowane dwa punkty,
- mutacja — arytmetyczna *Gauss'a* z *pewnym* prawdopodobieństwem jej wykonania,
- selekcja — elitarna.

Tablica 6 przedstawia wartości optymalnych hiperparametrów uzyskanych dla algorytmu *Biological Evolution* (pol. *Algorytmu Ewolucyjnego*).

Ciekawą pracą w przyszłości mogłoby być zaimplementowanie innych sposobów selekcji i porównanie wyników uzyskanych dla tych sposobów z wynikami umieszczonymi w wykładzie przez prowadzącego.

2.4 Zaimplementowanie algorytmu *Particle Swarm Optimization*

Algorytm *Biological Evolution* został zaimplementowany zgodnie z pseudokodem umieszczonym w wykładzie, z zaznaczeniem, że p_{best} to najlepszy punkt uzyskany do czasu t , a g_{best} to punkt będący najbliższym sąsiadem punktu, który obecnie jest ewaluowany. Najbliższy sąsiad wyznaczany jest z użyciem metryki euklidesowej.

Tablica 7 przedstawia wartości optymalnych hiperparametrów uzyskanych dla algorytmu *Particle Swarm Optimization* (pol. *Optymalizacja Rojem Cząstek*).

2.5 Zaimplementowanie algorytmu *Differential Evolution*

Podczas implementacji algorytmu *Biological Evolution* dwie rzeczy były istotne:

1. jaki zakres parametru F przeszukiwać,
2. w jaki sposób zaimplementować krzyżowanie.

Ze względu na brak doprecyzowania w wykładzie, zdecydowano się przeszukiwać zakres od 0 do 1 dla parametru F . Krzyżowanie zaś zaimplementowano na zasadzie podmiany wartości danego wymiaru pomiędzy dwoma punktami x i v .

Tablica 8 przedstawia wartości optymalnych hiperparametrów uzyskanych dla algorytmu *Differential Evolution*.

2.6 Wygenerowanie wykresów

Zgodnie z prośbą prowadzącego, wygenerowano wymagane wykresy.

Tablica 8: Optymalne wartości hiperparametrów dla algorytmu *Differential Evolution*.

Nazwa	Wartość dla funkcji	
	Rosenbrocka	Rastrigina
Population	19	34
F	0.511	0.505

2.6.1 Wykresy zbieżności

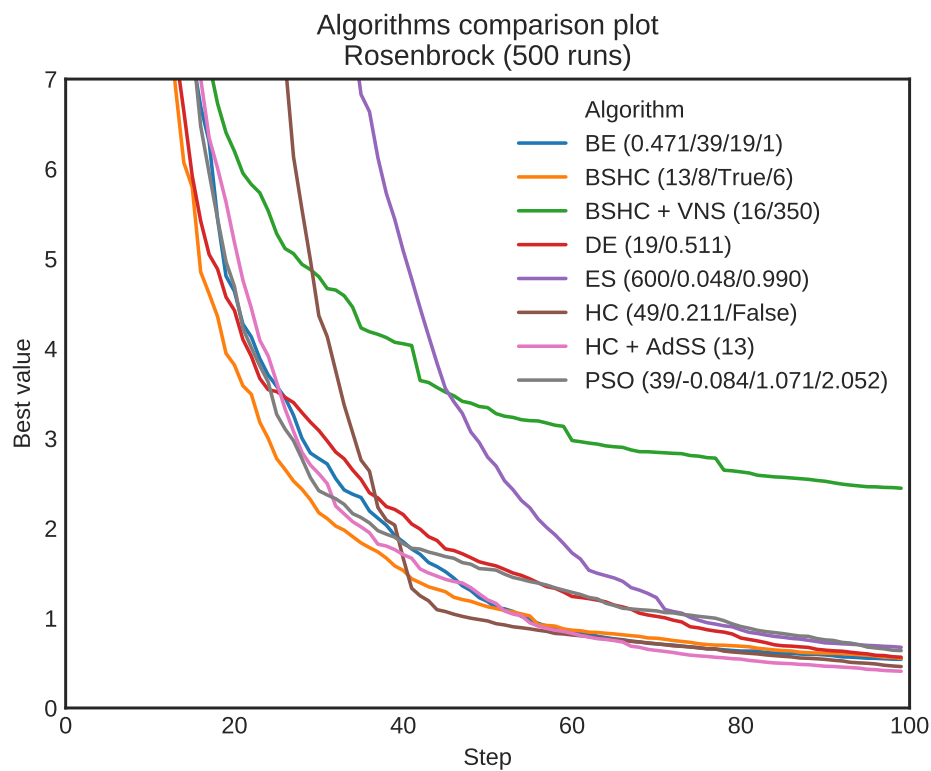
Wykresy zbieżności algorytmów wykonano dla funkcji *Rosenbrock*'a oraz *Rastrigin*'a. Zostały na nich przedstawione porównania algorytmów:

- *Biological Evolution* (BE),
- *Bit Switch Hill Climbing* (BSHC),
- *Bit Switch Hill Climbing with Variable Neighbourhood Search* (BSHC + VNS).
- *Differential Evolution* (DE),
- *Evolution Strategy* (ES),
- *Hill Climbing* (HC),
- *Hill Climbing with Adaptive Step Size* (HC + AdSS),
- *Particle Swarm Optimization* (PSO).

Z porównania wyłączono algorytmy *Grid Search*, *Monte Carlo* oraz *Simulated Annealing*.

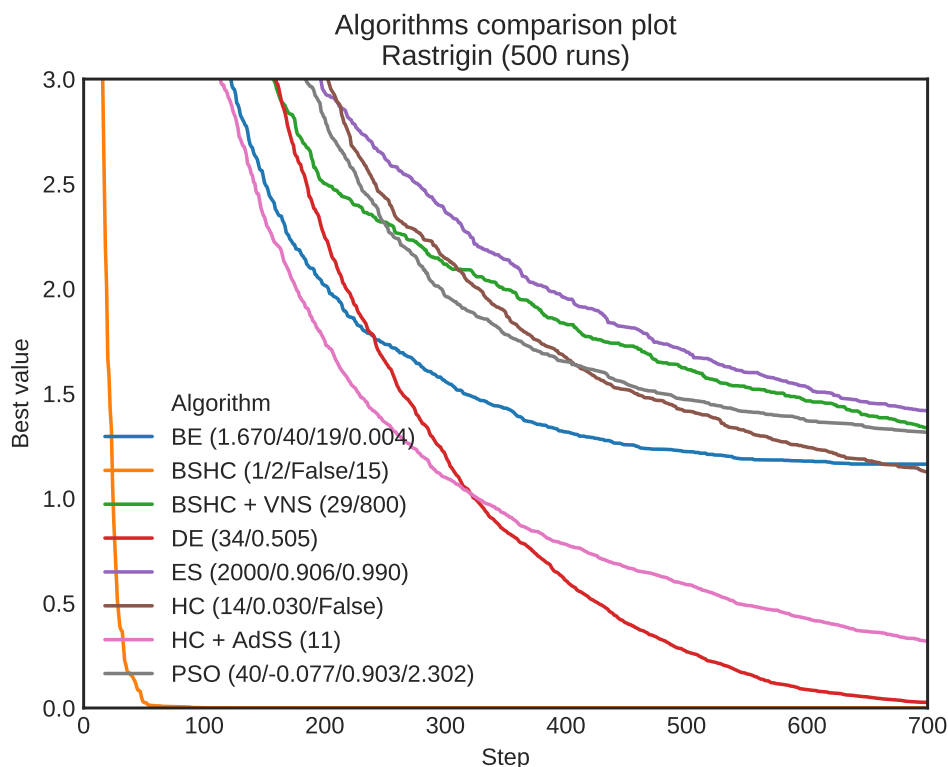
Podczas generowania wykresów zrezygnowano ze wstąg obrazujących wartość odchylenia standardowego, ponieważ zaciemniały one obraz. Wyniki dla każdego algorytmu uśredniane są z 500 wykonań tego algorytmu dla tego samego zestawu parametrów. Dzięki tak dużej liczbie wywołań ukryte wartości odchylenia standardowego są redukowane.

Wykres dla funkcji *Rosenbrock*'a został przedstawiony na rysunku 1.



Rysunek 1: Wykres porównujący wyniki optymalizacji z użyciem różnych algorytmów. Optymalizacja wykonana została dla funkcji *Rosenbrock*'a. Linie przedstawiają wartość średnią z 500 wywołań procesu optymalizacji.

Wykres dla funkcji *Rastrigin*'a został przedstawione na rysunku 2.



Rysunek 2: Wykres porównujący wyniki optymalizacji z użyciem różnych algorytmów. Optymalizacja wykonana została dla funkcji *Rastrigin*'a. Linie przedstawiają wartość średnią z 500 wywołań procesu optymalizacji.

3 Implementacja

Ze względu na objętość kodu napisanego w ramach 5. pracy domowej oraz ogólną dobrą jakość kodu, kod implementacji dostępny jest na portalu *GitHub* w repozytorium [VictorAtPL/random-global-optimization-methods](https://github.com/VictorAtPL/random-global-optimization-methods).

4 Wnioski

Analizując rysunki 1 oraz 2 ciężko jest jednoznacznie stwierdzić, czy metody wielopunktowe (populacyjne) mają przewagę nad metodami jednopunktowymi. Na wykresie dla funkcji *Rastrigin*'a widać, że metoda jednopunktowa BSHC zbiega szybciej niż inne metody. Dla funkcji *Rosenbrock*'a, ta sama metoda jednopunktowa BSHC zbiega najszybciej, ale nie do optimum globalnego. Do optimum globalnego zbiega zaś metoda HC + AdSS wprowadzająca do metody jednopunktowej, jaką jest *Hill Climbing*, elementy metod populacyjnych do kontroli kroku skoków.

W przypadku metod losowej optymalizacji globalnej pozytywnym aspektem jest to, że metoda może być prosta, a hiperparametry dla niej możemy odnaleźć pół-automatycznie (na przykład dzięki bibliotece *HyperOpt* w j. Python). Niestety nadal nie rozstrzygniętą w ramach zajęć kwestią jest pytanie, czy metody te nadadzą się do bardziej skomplikowanych funkcji, niż dwuwymiarowe funkcje *Rastrigin*'a i *Rosenbrock*'a.

Bibliografia

- [1] Michał Okulewicz. *Populacyjne algorytmy optymalizacji globalnej*. [Online; accessed 11. May 2020]. Kw. 2020. URL: http://www.mini.pw.edu.pl/~okulewicz/downloads/mlog/MLOG_03_ES_EA_PSO_DE.pdf.